

# UNIVERSIDADE FEDERAL DO PARANÁ

## SETOR DE TECNOLOGIA

### DEPARTAMENTO DE ENGENHARIA ELÉTRICA

#### TE 903- COMUNICAÇÃO DIGITAL

EDSON MASAO ODAKE JUNIOR - GRR20172138  
SCHADRAC WANZA ISULA - GRR20169906

**RELATÓRIO SIMULAÇÃO FINAL-TE903-NA -DATA 09/02/2021**

CURITIBA

2021

EDSON MASAO ODAKE JUNIOR - **GRR20172138**  
Schadrac Wanza Isula – **GRR20169906**

## **RELATÓRIO SIMULAÇÃO FINAL– DATA 09/02/2021**

Relatório acadêmico apresentado à a disciplina de comunicação digital, do curso de graduação em Engenharia Elétrica, da Universidade Federal do Paraná (UFPR).

Orientador: Prof. Evelio Martin Garcia Fernandez

CURITIBA

2021

## SUMÁRIO

|  |   |
|--|---|
| 1 INTRODUÇÃO.....                        | 1 |
| 2 BERTOOL .....                          | 2 |
| 3 PROCEDIMENTO PARA CALCULAR O BER ..... | 4 |
| 4 CURVAS.....                            | 6 |
| 5 CONCLUSÃO .....                        | 7 |
| 6 CODIGO DA SIMULAÇÃO .....              | 8 |

# 1 INTRODUÇÃO

Nessa última simulação será feita a transmissão de um sinal, no caso uma imagem, considerando todas as etapas de transmissão. Primeiramente iremos passa-lo por um codificador de canal, depois faremos a modulação M-QAM, com  $M = 16$ . Em seguida será adicionado o problema de um canal distorcido e um ruído gaussiano. Então utilizaremos um equalizador para que os efeitos do canal distorcido sejam amenizados. Caso não seja utilizado o equalizador, a imagem recebida acaba tendo uma taxa de erro de bits muito grande, mesmo que o equalizador também amplifique o ruído a sua presença ainda é muito necessária. Para terminar o sinal será demodulado e decodificado no receptor.

Esse trabalho final tem como finalidade a implementação do codificador de canal.

O sinal de ruído e interferências são introduzidos no sistema a partir do canal de comunicação. Isso leva a uma taxa de erro de bits maior encontrada no lado do receptor. A codificação de canal tem como intuito reduzir o valor de SNR necessário para se manter uma comunicação ideal.

Esse processo ocorre através da adição de bits “redundantes” de modo que possa ocorrer a detecção de bits que foram recebidos de forma errada. Portanto uma quantidade  $k$  de bits em um bloco terá  $n$  bits depois da codificação representando a mesma mensagem. Ao se usar desse método existe também um aumento da largura de banda necessária para transmissão.

A codificação do canal ocorre no transmissor antes que ocorra a modulação, e a decodificação no receptor logo depois da demodulação. Essa transformação ocorre de forma digital. Na simulação utilizaremos a ferramenta *bertool* do matlab para que possamos encontrar o valor de  $n$  e  $k$  cujo resultado leve a um ganho de pelo menos 2 dB.

## 2 BERTOOL - Matlab

Primeiramente, para que possamos fazer a simulação no MATLAB, vamos usar o bertool para encontrar valores de **n** e **k** que resultem um ganho de no mínimo 2,12 dB em relação ao canal não codificado considerando uma BER = 10e-6. A figura 1 mostra o setup no ambiente bertool e a figura 2 mostra o resultado obtido. Em que a curva azul escura é o BER sem codificação e o azul claro é o BER do sinal codificado.

**Bit Error Rate Analysis Tool**

File Edit Window Help

| Confidence Level | Fit | Plot                                | BER Data Set            | $E_b/N_0$ (dB)              | BER                     | # of Bits |
|------------------|-----|-------------------------------------|-------------------------|-----------------------------|-------------------------|-----------|
|                  |     | <input checked="" type="checkbox"/> | theoretical-exact0      | [0 1 2 3 4 5 6 7 8 9 10...] | [0.1409 0.1189 0.09...] | N/A       |
|                  |     | <input checked="" type="checkbox"/> | theoretical-upperBound1 | [0 1 2 3 4 5 6 7 8 9 10...] | [0.2366 0.2074 0.17...] | N/A       |
|                  |     | <input type="checkbox"/>            | theoretical-upperBound2 | [0 1 2 3 4 5 6 7 8 9 10...] | [0.2750 0.2311 0.18...] | N/A       |
|                  |     | <input type="checkbox"/>            | theoretical-upperBound3 | [0 1 2 3 4 5 6 7 8 9 10...] | [0.3570 0.3039 0.24...] | N/A       |
|                  |     | <input type="checkbox"/>            | theoretical-upperBound4 | [0 1 2 3 4 5 6 7 8 9 10...] | [0.1507 0.1284 0.10...] | N/A       |
|                  |     | <input type="checkbox"/>            | theoretical-upperBound5 | [0 1 2 3 4 5 6 7 8 9 10...] | [0.2366 0.2074 0.17...] | N/A       |

**Theoretical** Semianalytic Monte Carlo

$E_b/N_0$  range: 0:15 dB

Channel type: AWGN

Modulation type: QAM

Modulation order: 16

Demodulation type:

☒ Coherent

☐ Noncoherent

Channel coding:

☐ None

☐ Convolutional

☒ Block

Coding Type: General

Decision method:

☒ Hard

☐ Soft

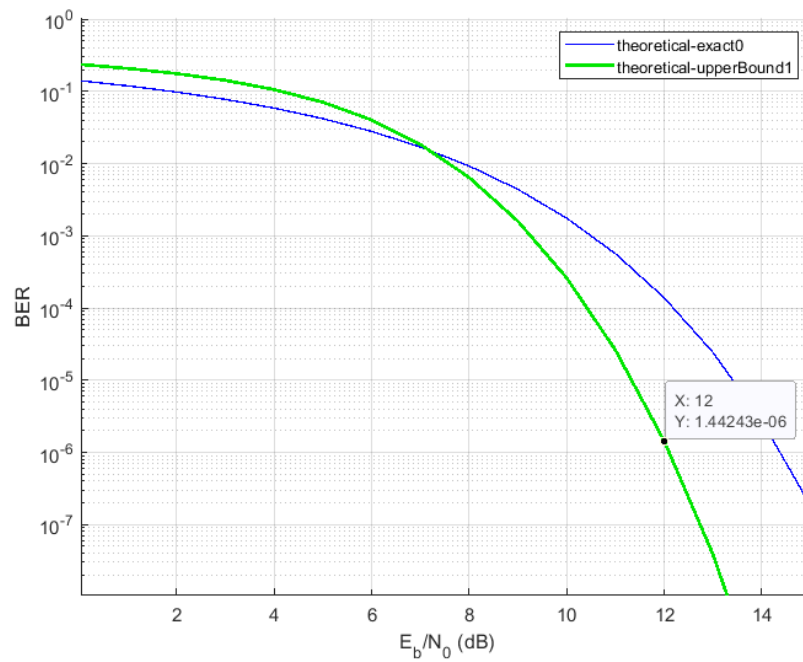
N: 31

K: 21

$d_{min}$ : 5

Plot

Figura 1: Bertool matlab



*Figura 2: Curvas de Desempenhos de Erro*

Pela figura 2 a cima, podemos ver as curvas de desempenhos de erro (BER) sem e com código. Foi pedido fazer escolha de maneira que a diferencia (analiticamente) do ganho entre a curva sem e com código no ponto  $10^{-6}$  seja de 2 db. Observamos que o código melhor para tal resultado é  $N=31$ ,  $K=21$  e  $d_{min}=5$ .

### 3 Procedimento para Cálculo de BER

Para obter a expressão analítica de BER foi usado as equações abaixo, com os valores de código de correção, ou seja, N=31, K=21, dmin=5.

$$\frac{E_s}{N_o} = (\log_2(M)) \left(\frac{k}{n}\right) \frac{E_b}{n_o};$$

$$P_e = \text{erfc}\left(\sqrt{\left(\frac{E_s}{N_o}\right) \sin\left(\frac{\pi}{M}\right)}\right);$$

$$P_c = \frac{P_e}{\log_2(M)};$$

$$BER = \frac{1}{n} \sum_{j=t+1}^n j \binom{n}{j} P_c^j (1 - P_c)^{n-j};$$

$$t = \frac{dmin - 1}{2}$$

Os cálculos foram feitos no matlab e o foi gerado um gráfico mostrando o valor de BER em relação a variação Eb/N0. Isso é mostrado na figura 3.

O script utilizado para gerar o gráfico foi o código abaixo.

```
clear; clc; close all;
```

```
n=31;
k=21;
t=2;
M=16;
ebn0=[0:1:15];
```

```
% n=63;
% k=51;
% t=2;
% ebn0=20.89;
% M=8;
```

```
esn0=log2(M)*ebn0*k/n;
```

```
pe=erfc(sqrt(esn0)*sin(pi/M));
```

```
pc=pe/log(M);
BER=0;
for j=t+1:1:n;
```

```

BER=BER+j*(factorial(n)/(factorial(j)*factorial(n-j))).*pc.^j.*(1-pc).^(n-j)/n;
end

plot(ebn0,2*BER);
semilogy(ebn0,BER,'LineWidth',2)
xlabel("Eb/n0");
ylabel("BER");
axis([0 15 1e-3 1]);

```

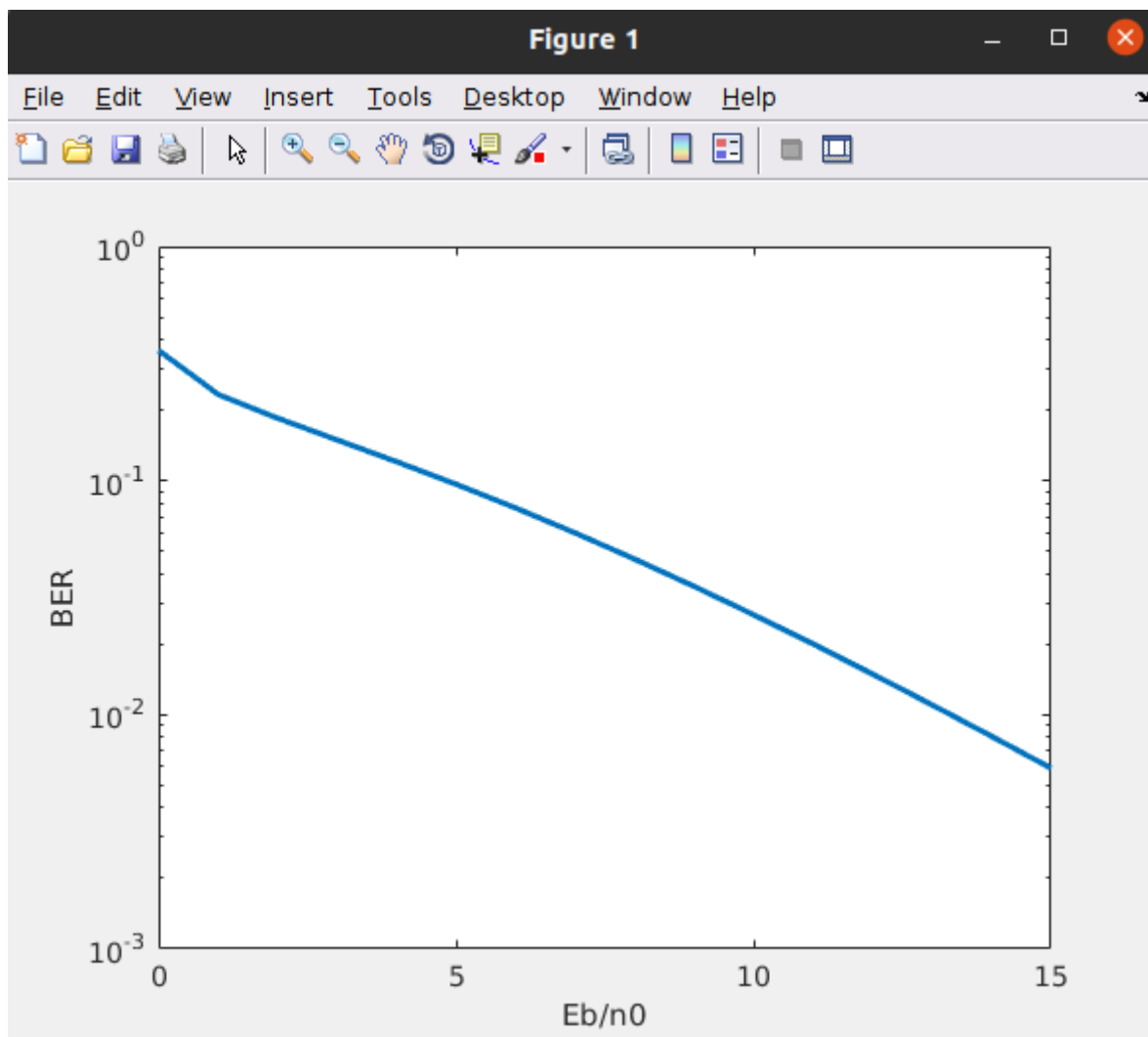


Figura 3: BER calculado



## 4 Curvas

Nessa parte é necessário plotar as curvas de desempenhos de erro (BER vs.  $E_b/N_0$ ), no mesmo gráfico plotar 3 curvas, uma para o sistema sem código de correção de erro (simulado), uma para sistema com código (analítico) e enfim sistema com codificação de canal simulado.

Com tentativa e erro, com falta de conhecimento aprofundada no matlab, e com a demora na compilação, infelizmente não conseguimos chegar no resultado esperado nessa parte de simulação. Tentamos resolver, mas não deu certo e não terá figura das curvas.

## 5 Conclusão

Como é mostrado na figura 2, teoricamente, a utilização de codificação de canal se mostra bem mais efetivo que o canal não codificado. Foi possível ver um ganho de 2.12 dB do canal codificado em relação ao não codificado. É claro que a codificação do canal também apresenta alguns pontos positivo. Por exemplo, com a codificação do canal, vem junto um aumento na banda para transmitir a mensagem.

Os gráficos encontrados pelos diferentes métodos computacionais podem apresentar resultados distintos, porém semelhantes. No caso o valor encontrado pela simulação e o valor do BER calculado mostram muita diferença em seu resultado. Isso nós levamos a acreditar que pode ter ocorrido um erro no código que gerou o gráfico.

## 6 Código da Simulação (script)

```
% -----
% Simulacao do Equivalente em banda Base de um Sistema 16-QAM
% Transmissao atraves de um Canal Seletivo em Frequencia
% Equalizacao ZF
% -----

clear; clc; close all;

% -----
% Parametros
% -----

Fs=44100;           % Frequencia de Amostragem do Sinal Continuo (Hz)
Ts=1/Fs;            % Periodo de Amostragem (s)

Fc=8000;            % Frequencia da Portadora (Hz)

oversampling=10;    % Fator Fs/R

R=Fs/oversampling;  % Taxa de Transmissao em simbolos/s (baud rate)
T=1/R;              % Periodo de Simbolo (s)

del=25;             % Resposta do filtro formatador se estende por (2*del) periodos de simbolo
                   % Numero de amostras do filtro formatador: N=2*(del*oversampling)+1

rolloff=0.5;        % Fator de rolloff dos filtros Tx e Rx
N= 31;
K= 21;
t=2;
palavras = 1e5;

% -----
% Geracao de bits aleatorios e mapeamento 4-PAM
% -----
```

```

% Geracao de bits aleatorios e mapeamento 4-PAM
%-----

bits_msg = round(rand(palavras,K)); %geracao de um vetor de bits aleatorios
                                     %cada linha --> bloco de informacao de k bits

bits_msg_gf = gf(bits_msg);
msg_coded = bchenc(bits_msg_gf,N,K);
bit_symbols = reshape(msg_coded,palavras*N/2,2);
bit_symbols=double(bit_symbols.x);
symbols=bi2de(bit_symbols);          %dibits a ser transmitidos

a=[-3 -1 1 3];
symbols=symbols+1;
pam=a(symbols);

pam_I=pam(1:2:length(pam)); %Simbolso em fase e quadratura
pam_Q=pam(2:2:length(pam));

% -----
% Filtro de Tx+Rx
% Formatacao de Pulso - Tipo Raiz Quadrada do Cosseno Levantado no Tx e Rx
% -----
filtro=rcosfir(rolloff,del,oversampling,1,'sqrt');

%Formatar e transmitir os simbolos PAM

sinal_tx_I=upsample(pam_I,oversampling); % Realiza Upsampling
sinal_tx_Q=upsample(pam_Q,oversampling);
sinal_tx_filtrado_I=conv(sinal_tx_I,filtro); % Sinal Filtrado de Transmissao
sinal_tx_filtrado_Q=conv(sinal_tx_Q,filtro);

sinal_QAM=sinal_tx_filtrado_I+1j*sinal_tx_filtrado_Q;

% -----
% Canal com multipercurso (ISI channel)
% -----

ISI_channel = [0.19+.56j .45-1.28j -.14-.53j -.19+.23j .33+.51j]; % Exemplo de canal complexo

% -----
% Equalizador de ZF baseado em LS
% -----

L1=1; L2=3; % 0 tap máximo do canal
N1=5; N2=10; % 0 comprimento do equalizador 0 N1 + N2 + 1
%N1=2; N2=5; % 0 comprimento do equalizador 0 N1 + N2 + 1
P=convmtx(ISI_channel.',N1+N2+1); % Matriz de convolucao
u_ZF=zeros(N1+N2+L1+L2+1,1); % u vector (zero forcing)
u_ZF(L1+N1+1)=1; % coloca o um no lugar correspondiente
c_LS=((P'*P)\(P'))*u_ZF; % equalizador LS taps com pseudoinverso

figure(1);

%Plotando a funcao de transferencia do canal, do equalizador, e do canal
%equalizado

[H,F]=freqz(ISI_channel,1,2048,'whole',Fs); % Funcao de transferencia do canal
gain=20*log10(fftshift(abs(H)));
plot((F-Fs/2)/1000,gain,'LineWidth',2);
hold;
[H_LS,F]=freqz(c_LS,1,2048,'whole',Fs); % Funcao de transferencia do equalizsdor
gain=20*log10(fftshift(abs(H_LS)));
plot((F-Fs/2)/1000,gain,'r','LineWidth',2);
H_tot=H.*H_LS; % Funcao de transferencia conjunta canal-equalizador
gain=20*log10(fftshift(abs(H_tot)));
plot((F-Fs/2)/1000,gain,'k','LineWidth',2); grid;
axis([-Fs/(2*1000) Fs/(2*1000) -20 15]);
xlabel('Frequencia (kHz)');
ylabel('Ganho (dB)');
legend('Resposta do Canal','Resposta do Equalizador','Resposta Total');

```

```

ebn0=[0:1:15];

esn0=log2(16)*ebn0*K/N;

pe=erfc(sqrt(esn0)*sin(pi/16));

pc=pe/log(16);
BER_2=0;
for j=t+1:1:N;
    BER_2=BER_2+j*(factorial(N)/(factorial(j)*factorial(N-j))).*pc.^j.*(1-pc).^(N-j)/N;
end

sinal_rx_ISI=filter(ISI_channel,1,sinal_QAM);

ebn0=[0:1:15];
M=4; % Duas modulações 4-PAM em quadratura

for k=1:length(ebn0);

sinal_rx_ISI_ruido = awgn(sinal_rx_ISI,(ebn0(k)+10*log10(log2(M))-10*log10(oversampling/2)),'measured');

% sinal_rx_ISI_ruido = sinal_rx_ISI;

% sinal_rx_ISI_ruido = sinal_rx_ISI_ruido(L1+1:end); % Descarte o atraso, se o canal for anti-causal

sinal_equalizado=filter(c_LS,1,sinal_rx_ISI_ruido); % Sinal equalizado
sinal_equalizado=sinal_equalizado(L1+NI+1:end); % Descarte transitorio do equalizador

% Receptor (Filtro Casado)
% -----

sinal_rx_casado_I=conv(real(sinal_equalizado),filtro); % Filtro casado
sinal_rx_casado_Q=conv(imag(sinal_equalizado),filtro);

pam_rx_I=downsample(sinal_rx_casado_I,oversampling);
pam_rx_Q=downsample(sinal_rx_casado_Q,oversampling);
pam_rx_I=pam_rx_I(del*2+1:length(pam_rx_I)-del*2);
pam_rx_Q=pam_rx_Q(del*2+1:length(pam_rx_Q)-del*2);

% Estimacao dos simbolos PAM recebidos (fase e quadratura)

alphabet=[-3 -1 1 3];
symbols_rx_quant_I=quantalph(pam_rx_I,alphabet);
symbols_rx_quant_Q=quantalph(pam_rx_Q,alphabet);

a=[0 1 2 3];
symbols_rx_I=(symbols_rx_quant_I+3)/2+1;
symbols_rx_Q=(symbols_rx_quant_Q+3)/2+1;
symbols_rx=zeros(1,length(pam));
symbols_rx(1:2:length(pam))=symbols_rx_I;
symbols_rx(2:2:length(pam))=symbols_rx_Q;
symbols_rx=a(symbols_rx);

%symbols_rx=double(symbols_rx.x);

bit_symbols_rx=de2bi(symbols_rx);
bits_msg_rx_1=reshape(bit_symbols_rx,length(bit_symbols_rx)*2/N,N);

%bits_msg_rx=double(bits_msg_rx.x);

bits_msg_rx=gf(bits_msg_rx_1);
bits_msg_rx=bchdec(bits_msg_rx,N,K);

```

```

bits_msg_rx=gf(bits_msg_rx_1);
bits_msg_rx=bchdec(bits_msg_rx,N,K);

[num_erros(k),BER(k)]=symerr(bits_msg_rx,bits_msg)
[num_erros_1(k),BER_1(k)]=symerr(bits_msg_rx_1,bits_msg)
end

x=sinal_rx_casado_I+j*sinal_rx_casado_Q;

scatterplot(pam_rx_I+j*pam_rx_Q)

figure(5);
semilogy(ebn0,BER_1,'LineWidth',2)
grid on
hold on
semilogy(ebn0,BER,'LineWidth',2)
semilogy(ebn0,BER_2,'LineWidth',2)
xlabel('E_b/N_0 (dB)');
ylabel('BER');
title('Taxa de Erro de Bits');
axis([0 15 1e-6 1]);

```

Current plot held

Error using symerr (line 76)  
Only string and numeric arguments are accepted.

Error in ber\_equivalenteBB\_16QAM\_multipath\_equalizado\_fonte\_aleatoria (line 173)  
[num\_erros(k),BER(k)]=symerr(bits\_msg\_rx,bits\_msg)